

128ビットブロック暗号 CLEFIA の ハードウェア実装評価

白井 太三[†] 渋谷 香士[†] 秋下 徹[†]
盛合 志帆[†] 岩田 哲^{††}

[†] ソニー株式会社

^{††} 名古屋大学

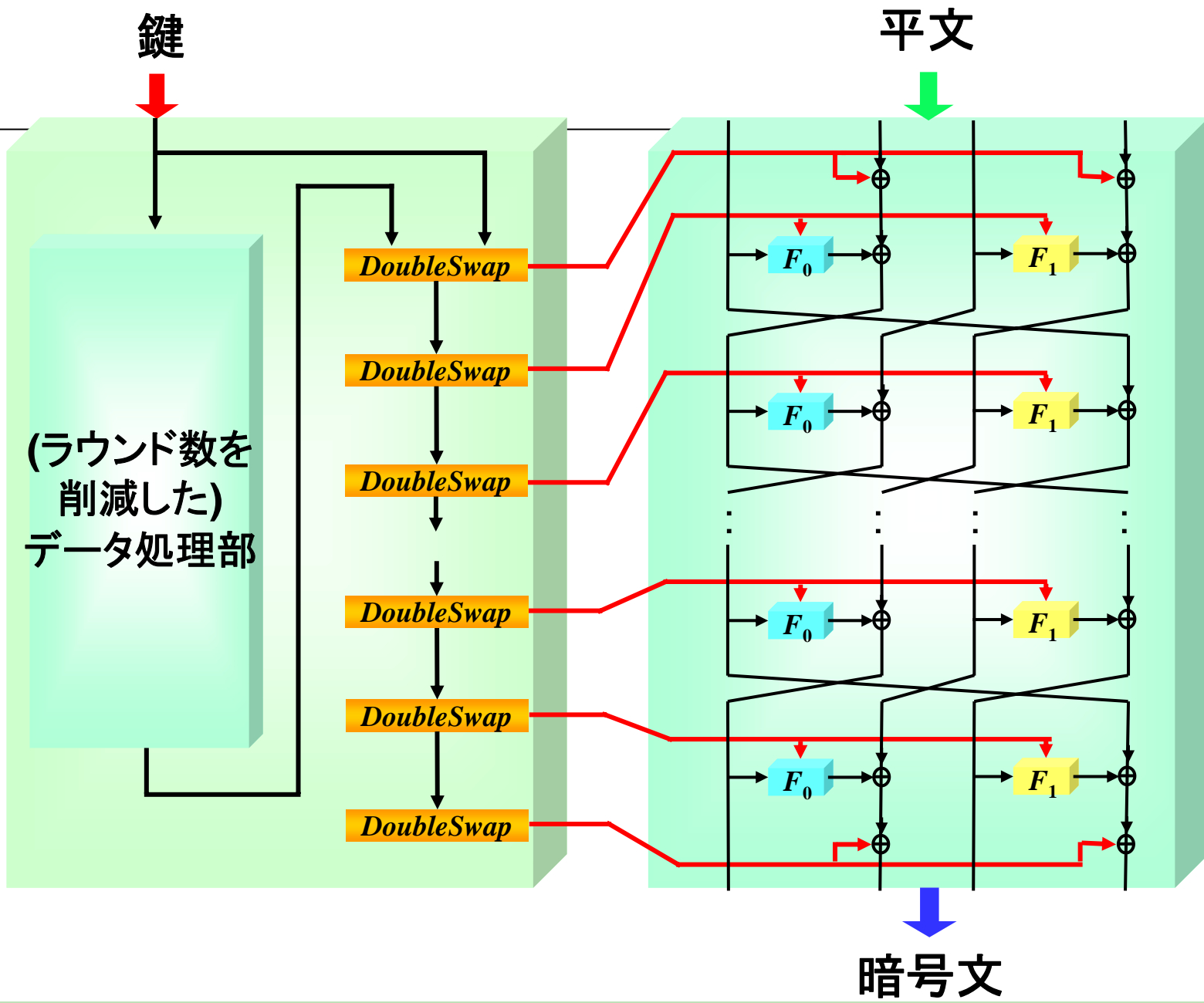
目次

- 128 ビットブロック暗号 CLEFIA
- F 関数の最適化
 - S-box
 - 拡散行列
- 鍵スケジュール部の最適化
 - *DoubleSwap* 関数
 - 部分鍵の等価変形
- 実装性能評価
- まとめ

128 ビットブロック暗号 CLEFIA

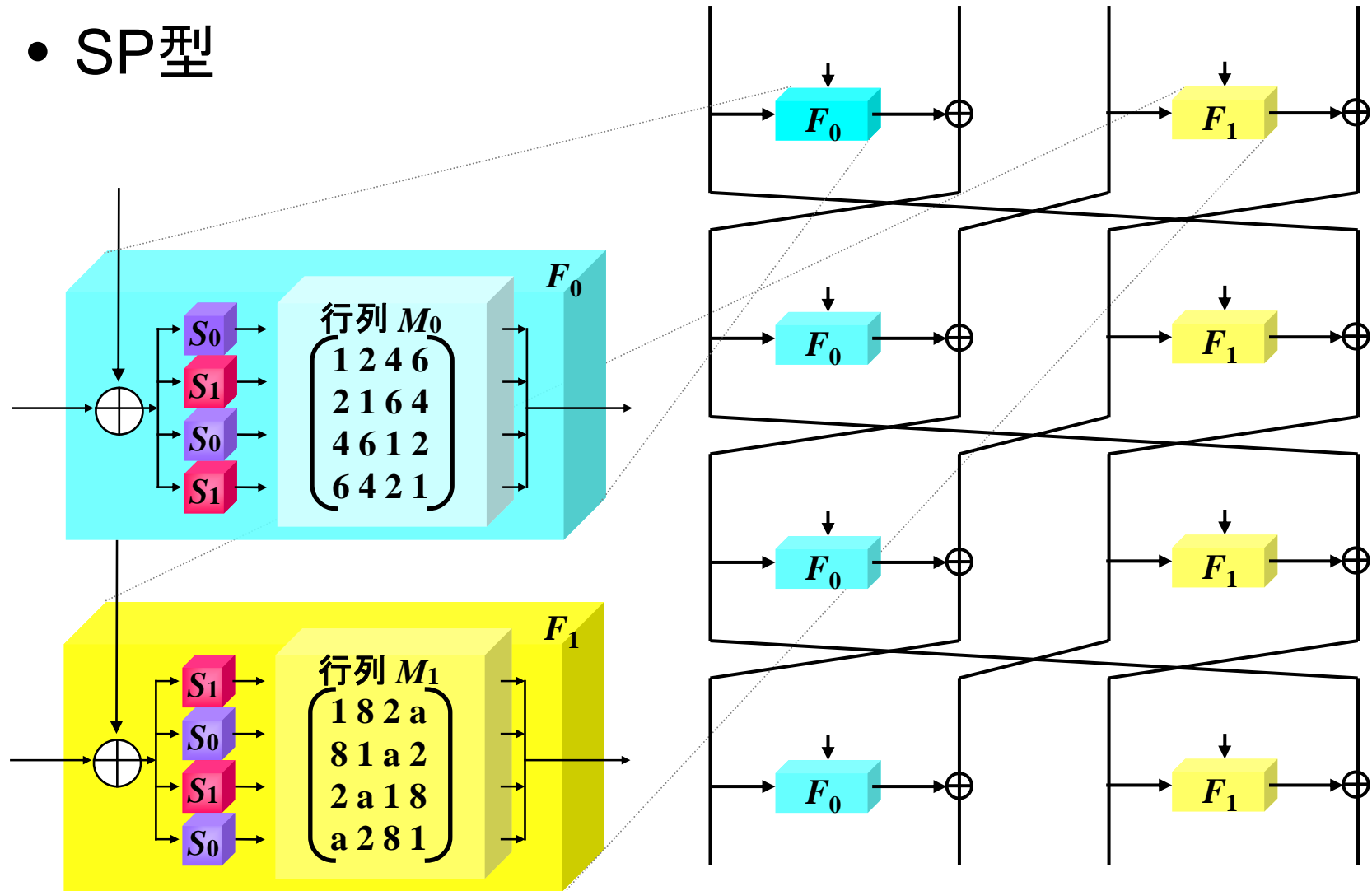
- 共通鍵ブロック暗号
 - ブロック長: 128ビット
 - 鍵長: 128/192/256ビット
- 基本構造
 - Type-2 一般化Feistel構造 (GFN)
 - データ処理部, 鍵スケジュール部とともに
 - ラウンド数:
 - 18 (128ビット鍵)
 - 22 (192ビット鍵)
 - 26 (256ビット鍵)

鍵スケジュール部

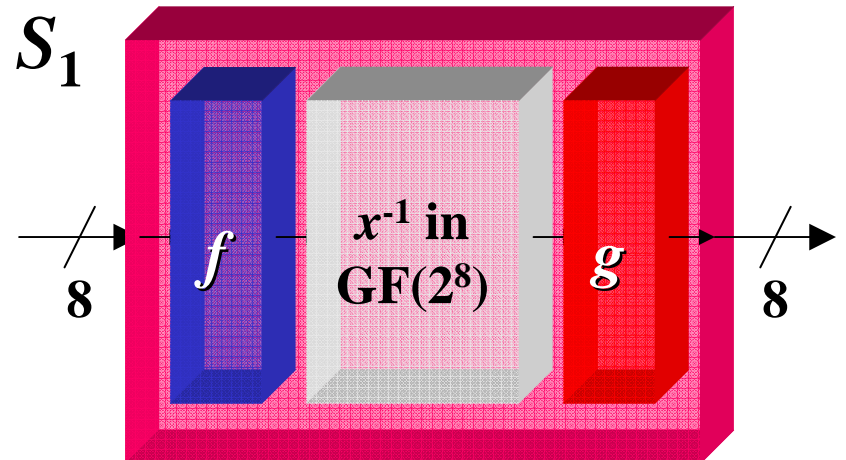
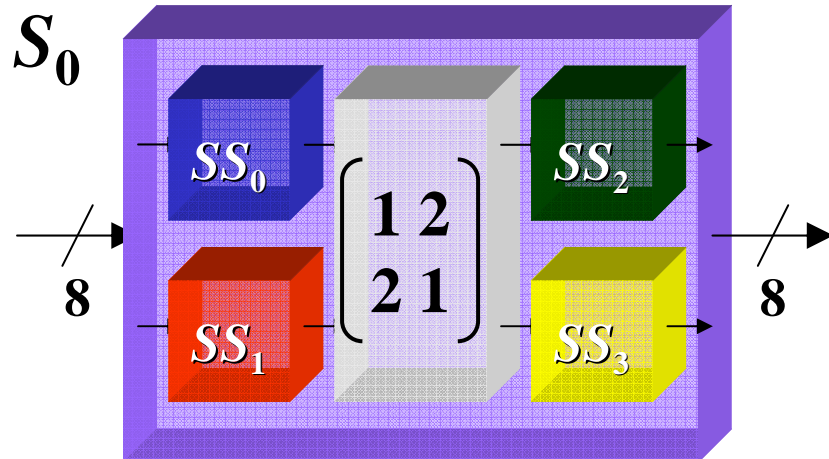


F 関数

- SP型



S-box



$f, g: GF(2)$ 上 affine 変換

CLEFIA の特長

- 高速かつコンパクトな実装が可能
 - ハードウェア実装
単位ゲートあたりの速度において最高記録を達成
 - ソフトウェア実装
128ビットブロック暗号において最も高速なグループ
- 既知の暗号解読法に対する安全性を確認

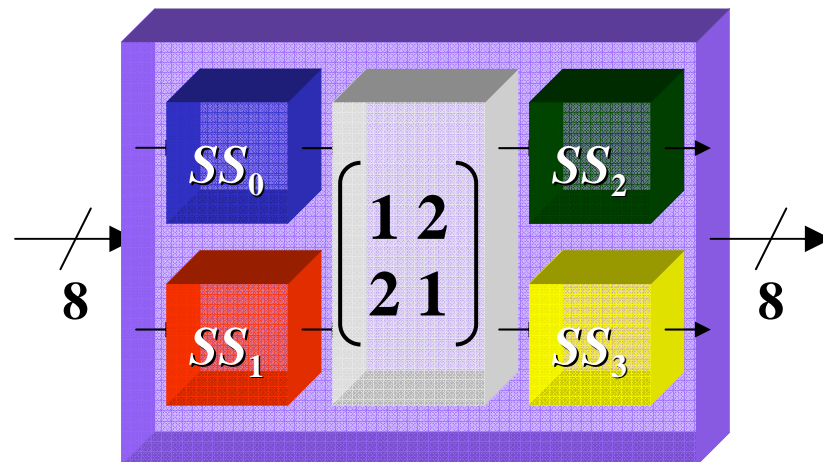
実装環境

記述言語	Verilog-VHDL
シミュレータ	VCS ver.2005.06
論理合成ツール	Design Compiler ver.2006.06
設計ライブラリ	0.09um CMOS 標準セルライブラリ 1 gate = 2-way NAND, 最悪条件

F 関数の最適化

- 各コンポーネントの最適化
 - S-box S_0, S_1
 - 拡散行列 M_0, M_1

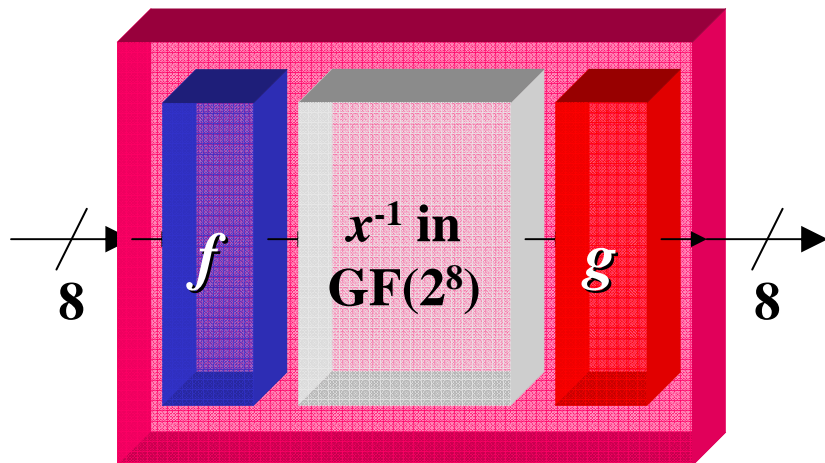
S-box S_0



4bit入出力 S-box $SS_0, SS_1, SS_2, SS_3 \Rightarrow$ 自動合成
GF(2^4)上の行列演算 $\Rightarrow 10$ XOR

144.75 gate, 1.33 ns

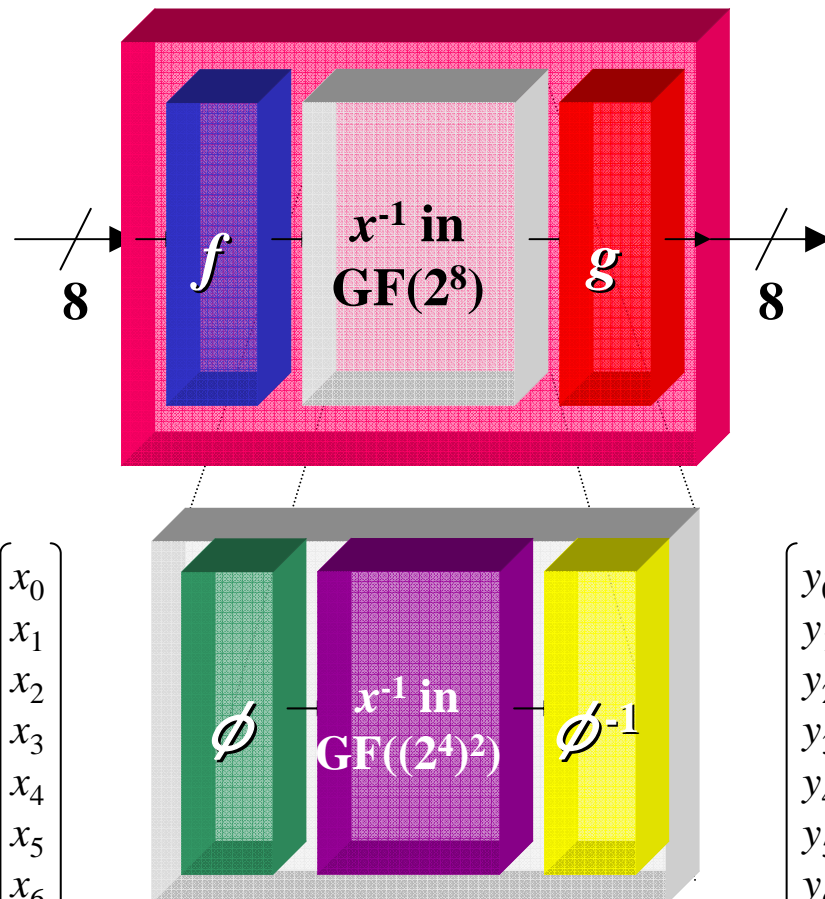
S-box S_1



$$\begin{bmatrix} y_0 \\ y_1 \\ y_2 \\ y_3 \\ y_4 \\ y_5 \\ y_6 \\ y_7 \end{bmatrix} = \begin{bmatrix} 00011000 \\ 01010001 \\ 00000001 \\ 00000110 \\ 01100101 \\ 01011100 \\ 01100000 \\ 10000001 \end{bmatrix} \begin{bmatrix} x_0 \\ x_1 \\ x_2 \\ x_3 \\ x_4 \\ x_5 \\ x_6 \\ x_7 \end{bmatrix} + \begin{bmatrix} 0 \\ 0 \\ 0 \\ 1 \\ 1 \\ 1 \\ 1 \\ 0 \end{bmatrix}$$

$$\begin{bmatrix} y_0 \\ y_1 \\ y_2 \\ y_3 \\ y_4 \\ y_5 \\ y_6 \\ y_7 \end{bmatrix} = \begin{bmatrix} 00001010 \\ 01000001 \\ 01011000 \\ 00100000 \\ 00110000 \\ 00000010 \\ 10010000 \\ 01000100 \end{bmatrix} \begin{bmatrix} x_0 \\ x_1 \\ x_2 \\ x_3 \\ x_4 \\ x_5 \\ x_6 \\ x_7 \end{bmatrix} + \begin{bmatrix} 0 \\ 1 \\ 1 \\ 0 \\ 1 \\ 0 \\ 0 \\ 1 \end{bmatrix}$$

S-box S_1

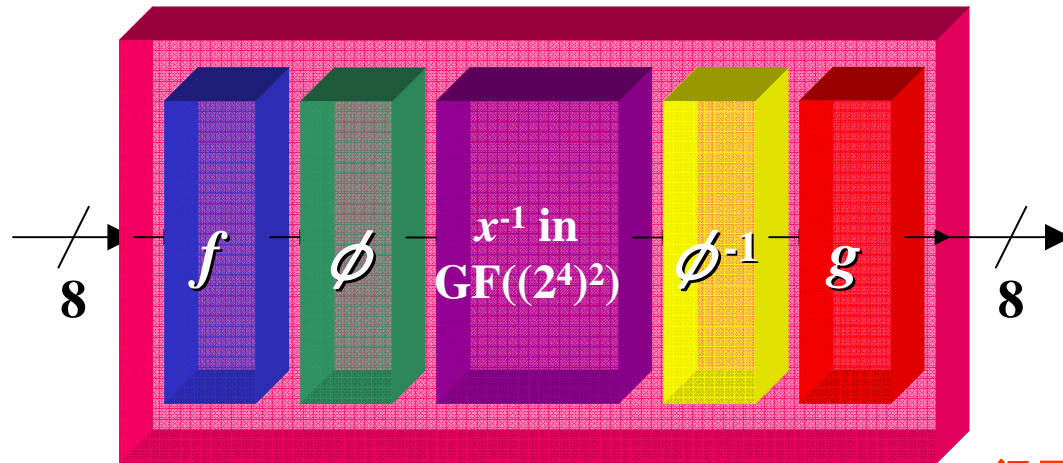


$$\begin{bmatrix} y_0 \\ y_1 \\ y_2 \\ y_3 \\ y_4 \\ y_5 \\ y_6 \\ y_7 \end{bmatrix} = \begin{bmatrix} 0 & 0 & 1 & 0 & 0 & 0 & 0 & 0 \\ 0 & 0 & 1 & 1 & 1 & 0 & 1 & 0 \\ 0 & 1 & 1 & 0 & 0 & 1 & 0 & 0 \\ 1 & 1 & 1 & 1 & 0 & 1 & 0 & 0 \\ 1 & 0 & 1 & 0 & 1 & 1 & 0 & 0 \\ 1 & 0 & 1 & 0 & 1 & 1 & 1 & 0 \\ 0 & 0 & 0 & 0 & 1 & 0 & 1 & 0 \\ 1 & 1 & 1 & 0 & 1 & 1 & 1 & 1 \end{bmatrix} \begin{bmatrix} x_0 \\ x_1 \\ x_2 \\ x_3 \\ x_4 \\ x_5 \\ x_6 \\ x_7 \end{bmatrix}$$

$\text{GF}(2^4): z^4+z+1=0$
 $\text{GF}((2^4)^2): z^2+z+\lambda=0 \ (\lambda=\omega^3)$

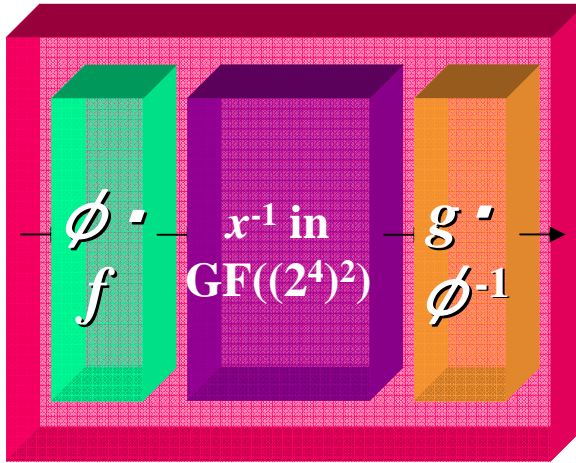
$$\begin{bmatrix} y_0 \\ y_1 \\ y_2 \\ y_3 \\ y_4 \\ y_5 \\ y_6 \\ y_7 \end{bmatrix} = \begin{bmatrix} 1 & 1 & 1 & 1 & 0 & 0 & 1 & 0 \\ 1 & 1 & 0 & 1 & 0 & 1 & 0 & 0 \\ 1 & 0 & 0 & 0 & 0 & 0 & 0 & 0 \\ 1 & 1 & 0 & 0 & 0 & 1 & 0 & 0 \\ 0 & 0 & 0 & 1 & 1 & 1 & 0 & 0 \\ 0 & 1 & 1 & 1 & 0 & 1 & 0 & 0 \\ 0 & 0 & 0 & 0 & 1 & 1 & 0 & 0 \\ 1 & 1 & 0 & 1 & 0 & 0 & 0 & 1 \end{bmatrix} \begin{bmatrix} x_0 \\ x_1 \\ x_2 \\ x_3 \\ x_4 \\ x_5 \\ x_6 \\ x_7 \end{bmatrix}$$

S-box S_1



行列をマージすると...

$$\begin{pmatrix} y_0 \\ y_1 \\ y_2 \\ y_3 \\ y_4 \\ y_5 \\ y_6 \\ y_7 \end{pmatrix} = \begin{pmatrix} 0 & 0 & 0 & 0 & 0 & 0 & 0 & 1 \\ 0 & 0 & 0 & 0 & 0 & 1 & 0 \\ 0 & 0 & 0 & 0 & 1 & 1 & 0 & 0 \\ 0 & 0 & 0 & 1 & 0 & 0 & 1 & 0 \\ 0 & 0 & 1 & 0 & 0 & 0 & 0 & 0 \\ 0 & 1 & 0 & 0 & 0 & 0 & 0 & 0 \\ 0 & 1 & 0 & 0 & 0 & 0 & 0 & 0 \\ 1 & 0 & 0 & 1 & 0 & 0 & 0 & 0 \end{pmatrix} \begin{pmatrix} x_0 \\ x_1 \\ x_2 \\ x_3 \\ x_4 \\ x_5 \\ x_6 \\ x_7 \end{pmatrix} + \begin{pmatrix} 0 \\ 1 \\ 1 \\ 0 \\ 0 \\ 1 \\ 0 \\ 1 \end{pmatrix}$$

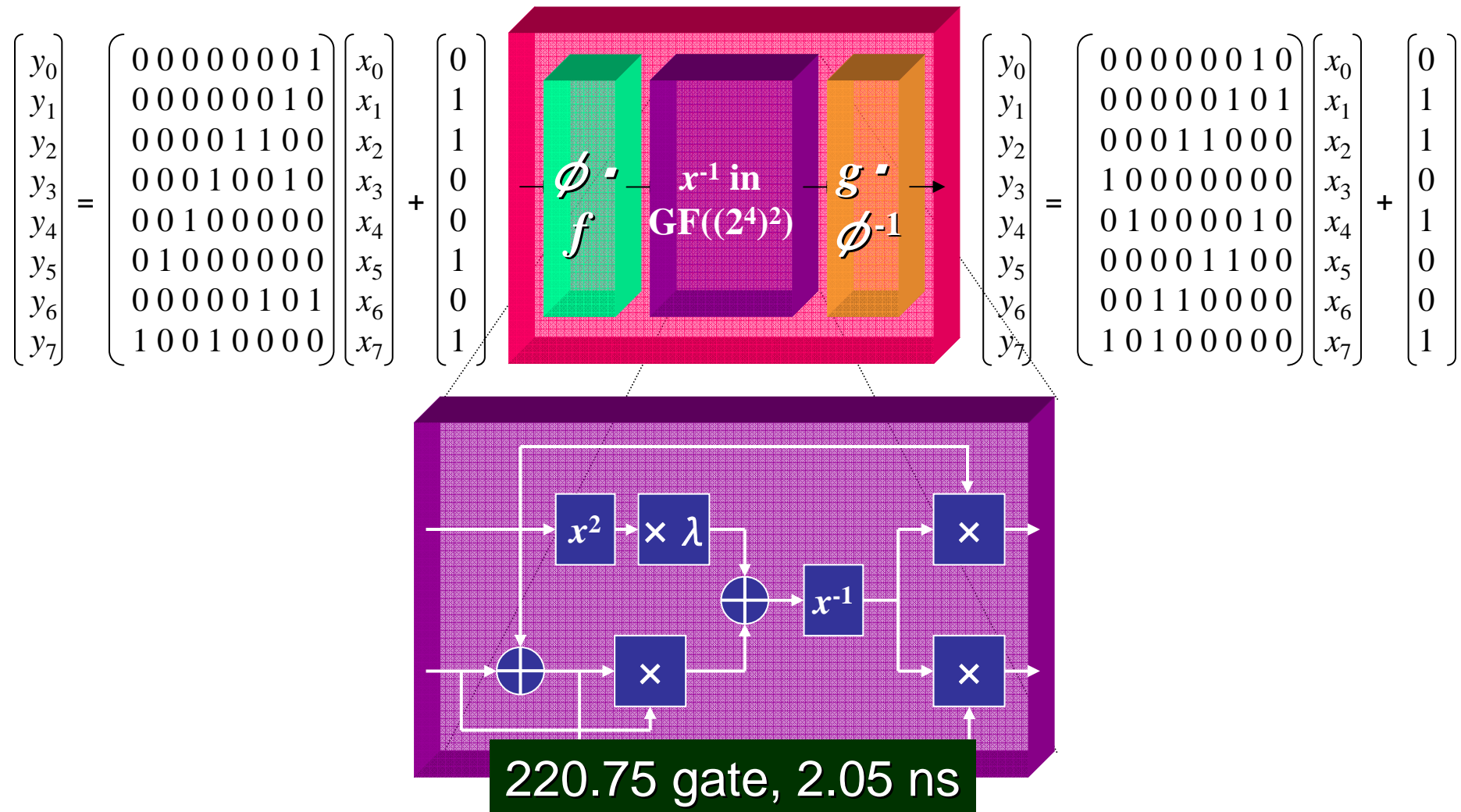


$$\begin{pmatrix} y_0 \\ y_1 \\ y_2 \\ y_3 \\ y_4 \\ y_5 \\ y_6 \\ y_7 \end{pmatrix} = \begin{pmatrix} 0 & 0 & 0 & 0 & 0 & 0 & 1 & 0 \\ 0 & 0 & 0 & 0 & 0 & 1 & 0 & 1 \\ 0 & 0 & 0 & 1 & 1 & 0 & 0 & 0 \\ 1 & 0 & 0 & 0 & 0 & 0 & 0 & 0 \\ 0 & 1 & 0 & 0 & 0 & 0 & 1 & 0 \\ 0 & 0 & 0 & 0 & 1 & 1 & 0 & 0 \\ 0 & 0 & 1 & 1 & 0 & 0 & 0 & 0 \\ 1 & 0 & 1 & 0 & 0 & 0 & 0 & 0 \end{pmatrix} \begin{pmatrix} x_0 \\ x_1 \\ x_2 \\ x_3 \\ x_4 \\ x_5 \\ x_6 \\ x_7 \end{pmatrix} + \begin{pmatrix} 0 \\ 1 \\ 1 \\ 0 \\ 0 \\ 1 \\ 0 \\ 1 \end{pmatrix}$$

2 XOR + 2 XNOR + 2 NOT

2 XOR + 4 XNOR

S-box S_1



AES の S-box との比較

		ゲート規模 (gate)	遅延時間 (ns)
CLEFIA	S_0	144.75	1.33
	S_1	220.25	2.05
AES	$SubByte/SubByte^{-1}$	252.75	N/A

306.25

S_0, S_1 とも $SubByte/SubByte^{-1}$ と比較して小型

AES: D. Canright. "A Very Compact S-box for AES", CHES 2005

拡散行列 M_0

$$\begin{pmatrix} Y_0 \\ Y_1 \\ Y_2 \\ Y_3 \end{pmatrix} = \begin{pmatrix} 01 & 02 & 04 & 06 \\ 02 & 01 & 06 & 04 \\ 04 & 06 & 01 & 02 \\ 06 & 04 & 02 & 01 \end{pmatrix} \begin{pmatrix} X_0 \\ X_1 \\ X_2 \\ X_3 \end{pmatrix} \quad X_i, Y_i : \text{GF}(2^8) \text{の元}$$

Hardmard行列の特性により共有化が可能

$$= \begin{pmatrix} 01 & 00 & 00 & 00 \\ 00 & 01 & 00 & 00 \\ 00 & 00 & 01 & 00 \\ 00 & 00 & 00 & 01 \end{pmatrix} \begin{pmatrix} X_0 \\ X_1 \\ X_2 \\ X_3 \end{pmatrix} + \begin{pmatrix} 00 & 02 & 00 & 02 \\ 02 & 00 & 02 & 00 \\ 00 & 02 & 00 & 02 \\ 02 & 00 & 02 & 00 \end{pmatrix} \begin{pmatrix} X_0 \\ X_1 \\ X_2 \\ X_3 \end{pmatrix} + \begin{pmatrix} 00 & 00 & 04 & 04 \\ 00 & 00 & 04 & 04 \\ 04 & 04 & 00 & 00 \\ 04 & 04 & 00 & 00 \end{pmatrix} \begin{pmatrix} X_0 \\ X_1 \\ X_2 \\ X_3 \end{pmatrix}$$

$$A_0 = X_0 \oplus X_1$$

$$A_1 = X_2 \oplus X_3$$

$$B_0 = X_0 \oplus X_2$$

$$B_1 = X_1 \oplus X_3$$

$$C_0 = \{02\} \times B_0$$

$$C_1 = \{02\} \times B_1$$

$$D_0 = \{04\} \times A_0$$

$$D_1 = \{04\} \times A_1$$

$$Y_0 = C_1 \oplus D_1 \oplus X_0$$

$$Y_1 = C_1 \oplus D_0 \oplus X_1$$

$$Y_2 = C_0 \oplus D_1 \oplus X_2$$

$$Y_3 = C_0 \oplus D_0 \oplus X_3$$

XORゲート数 112, XOR遅延段数 4

拡散行列 M_1

$$\begin{aligned}
 \begin{bmatrix} Y_0 \\ Y_1 \\ Y_2 \\ Y_3 \end{bmatrix} &= \begin{bmatrix} 01 & 08 & 02 & 0A \\ 08 & 01 & 0A & 02 \\ 02 & 0A & 01 & 08 \\ 0A & 02 & 08 & 01 \end{bmatrix} \begin{bmatrix} X_0 \\ X_1 \\ X_2 \\ X_3 \end{bmatrix} \quad X_i, Y_i : \text{GF}(2^8) \text{の元} \\
 &= \begin{bmatrix} 01 & 00 & 00 & 00 \\ 00 & 01 & 00 & 00 \\ 00 & 00 & 01 & 00 \\ 00 & 00 & 00 & 01 \end{bmatrix} \begin{bmatrix} X_0 \\ X_1 \\ X_2 \\ X_3 \end{bmatrix} + \begin{bmatrix} 00 & 00 & 02 & 02 \\ 00 & 00 & 02 & 02 \\ 02 & 02 & 00 & 00 \\ 02 & 02 & 00 & 00 \end{bmatrix} \begin{bmatrix} X_0 \\ X_1 \\ X_2 \\ X_3 \end{bmatrix} + \begin{bmatrix} 00 & 08 & 00 & 08 \\ 08 & 00 & 08 & 00 \\ 00 & 08 & 00 & 08 \\ 08 & 00 & 08 & 00 \end{bmatrix} \begin{bmatrix} X_0 \\ X_1 \\ X_2 \\ X_3 \end{bmatrix}
 \end{aligned}$$

$$\begin{array}{lll}
 A_0 = X_0 \oplus X_1 & C_0 = \{02\} \times A_0 & Y_0 = C_1 \oplus D_1 \oplus X_0 \\
 A_1 = X_2 \oplus X_3 & C_1 = \{02\} \times A_1 & Y_1 = C_1 \oplus D_0 \oplus X_1 \\
 B_0 = X_0 \oplus X_2 & D_0 = \{08\} \times B_0 & Y_2 = C_0 \oplus D_1 \oplus X_2 \\
 B_1 = X_1 \oplus X_3 & D_1 = \{08\} \times B_1 & Y_3 = C_0 \oplus D_0 \oplus X_3
 \end{array}$$

XORゲート数 118, XOR遅延段数 4

AES の拡散行列との比較

		XOR ゲート数	XOR 遅延段数
CLEFIA	M_0	112	4
	M_1	118	4
AES	<i>MixColumn/MixColumn⁻¹</i>	166	7

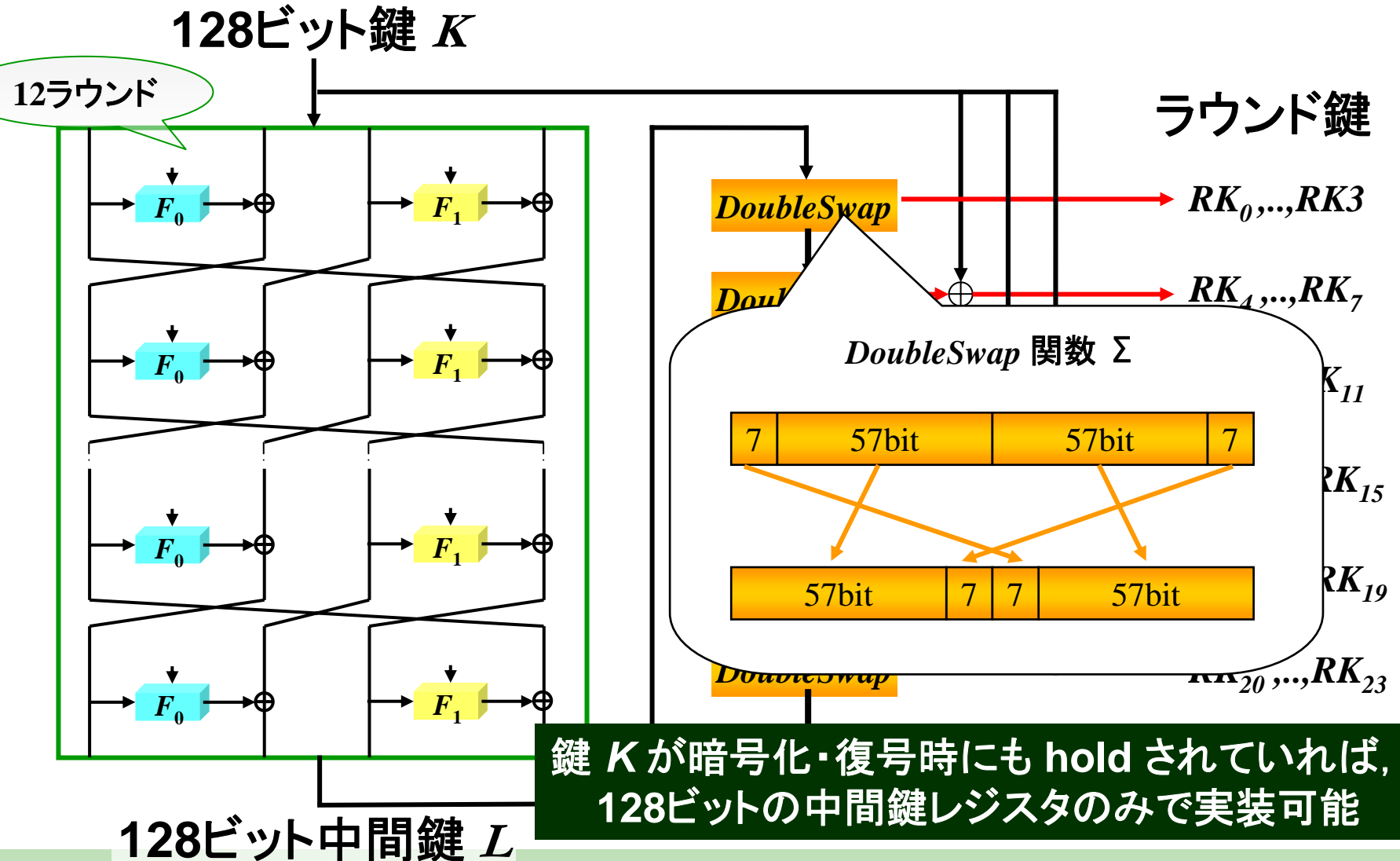
M_0, M_1 とも *MixColumn/MixColumn⁻¹* と比較して小型かつ高速

AES: 清水, 佐野, 本山, 大熊, 川村. “SPN型ブロック暗号の実装について”, ISEC 2001-55

鍵スケジュール部の最適化

- *DoubleSwap* 関数の最適化
- 部分鍵の等価変形

鍵スケジュール部 (128ビット鍵)



鍵スケジューリング (128ビット鍵)

128 ビット鍵 K , 128 ビット中間鍵 L

WK ₀	WK ₁	WK ₂	WK ₃
RK ₀	RK ₁	RK ₂	RK ₃
RK ₄	RK ₅	RK ₆	RK ₇
RK ₈	RK ₉	RK ₁₀	RK ₁₁
RK ₁₂	RK ₁₃	RK ₁₄	RK ₁₅
RK ₁₆	RK ₁₇	RK ₁₈	RK ₁₉
RK ₂₀	RK ₂₁	RK ₂₂	RK ₂₃
RK ₂₄	RK ₂₅	RK ₂₆	RK ₂₇
RK ₂₈	RK ₂₉	RK ₃₀	RK ₃₁
RK ₃₂	RK ₃₃	RK ₃₄	RK ₃₅

K

L

$$\Sigma(L) + K$$

$$\Sigma^2(L)$$

$$\sum 3(L) + K$$

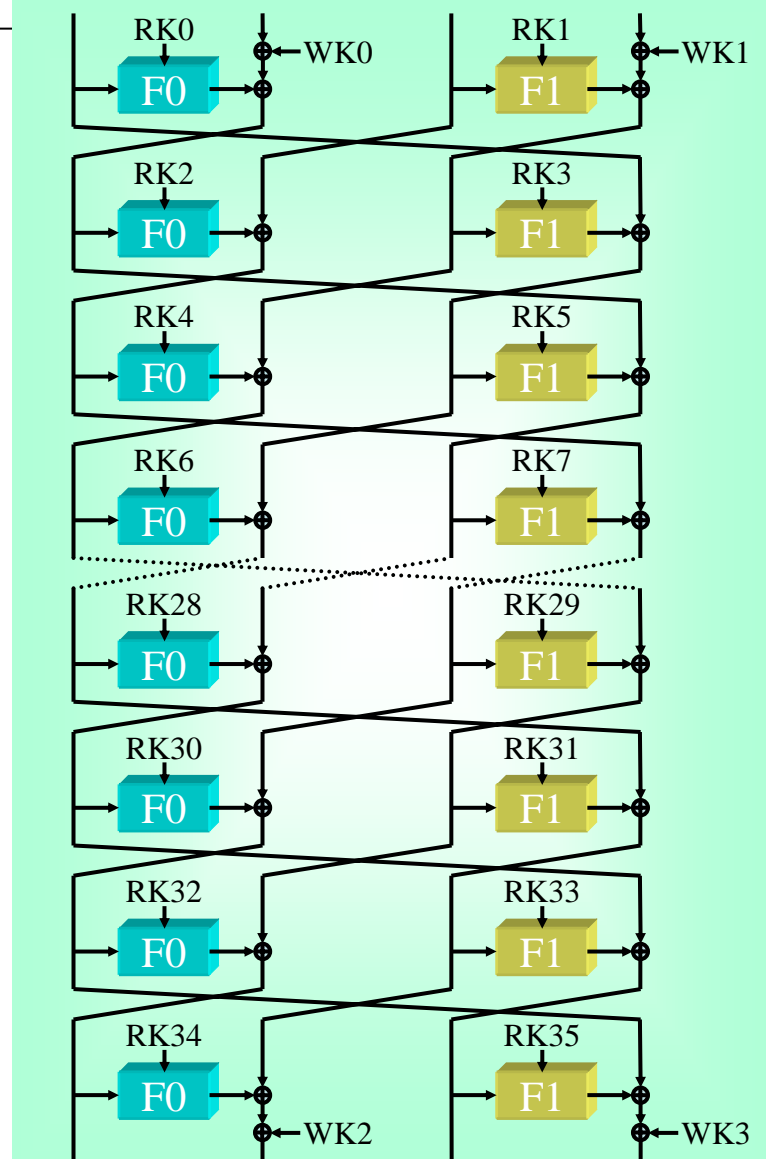
Z⁻(L)

$$\sum 5(L) + K$$

$$\Sigma^6(L)$$

$$\Sigma^7(L) + K$$

$$\Sigma^8(L)$$



鍵スケジューリング (128ビット鍵)

128ビット鍵 K , 128ビット中間鍵 L

WK ₀	WK ₁	WK ₂	WK ₃
-----------------	-----------------	-----------------	-----------------

K

RK ₀	RK ₁	RK ₂	RK ₃
-----------------	-----------------	-----------------	-----------------

L

RK ₄	RK ₅	RK ₆	RK ₇
-----------------	-----------------	-----------------	-----------------

$\Sigma(L) + K$

RK ₈	RK ₉	RK ₁₀	RK ₁₁
-----------------	-----------------	------------------	------------------

$\Sigma^2(L)$

RK ₁₂	RK ₁₃	RK ₁₄	RK ₁₅
------------------	------------------	------------------	------------------

$\Sigma^3(L) + K$

RK ₁₆	RK ₁₇	RK ₁₈	RK ₁₉
------------------	------------------	------------------	------------------

$\Sigma^4(L)$

RK ₂₀	RK ₂₁	RK ₂₂	RK ₂₃
------------------	------------------	------------------	------------------

$\Sigma^5(L) + K$

RK ₂₄	RK ₂₅	RK ₂₆	RK ₂₇
------------------	------------------	------------------	------------------

$\Sigma^6(L)$

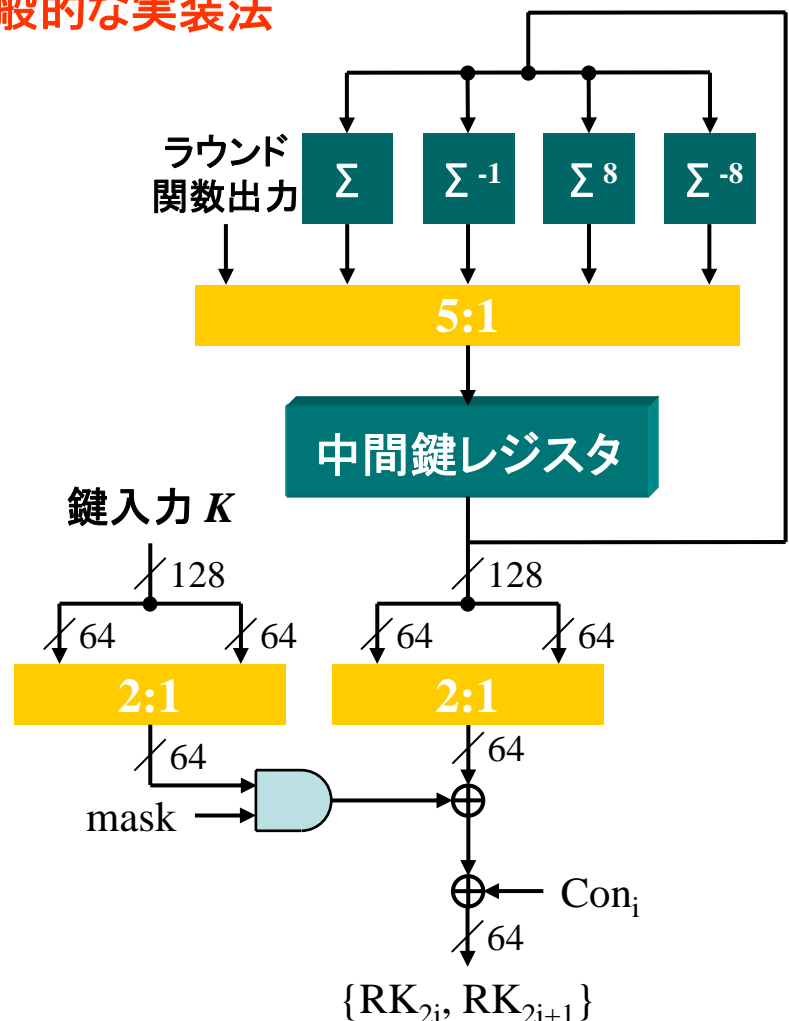
RK ₂₈	RK ₂₉	RK ₃₀	RK ₃₁
------------------	------------------	------------------	------------------

$\Sigma^7(L) + K$

RK ₃₂	RK ₃₃	RK ₃₄	RK ₃₅
------------------	------------------	------------------	------------------

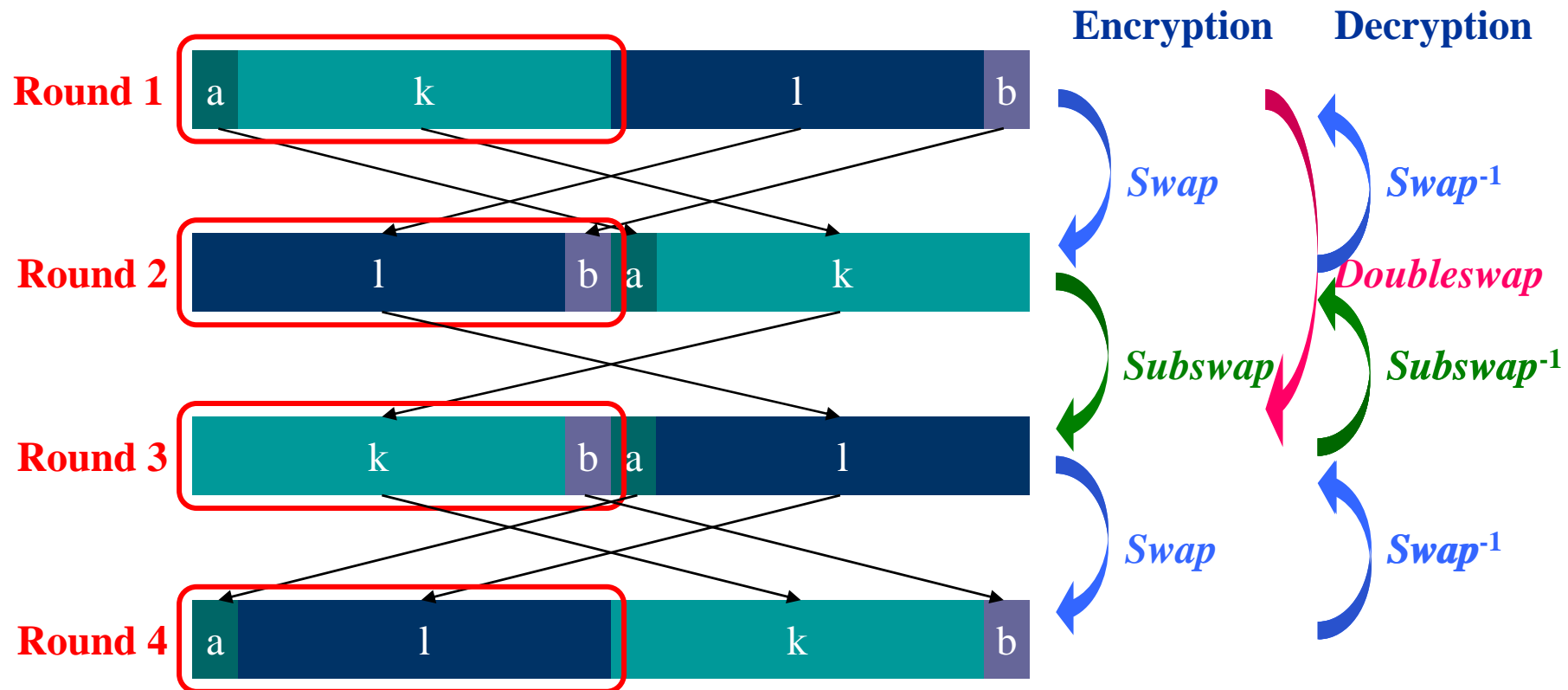
$\Sigma^8(L)$

一般的な実装法



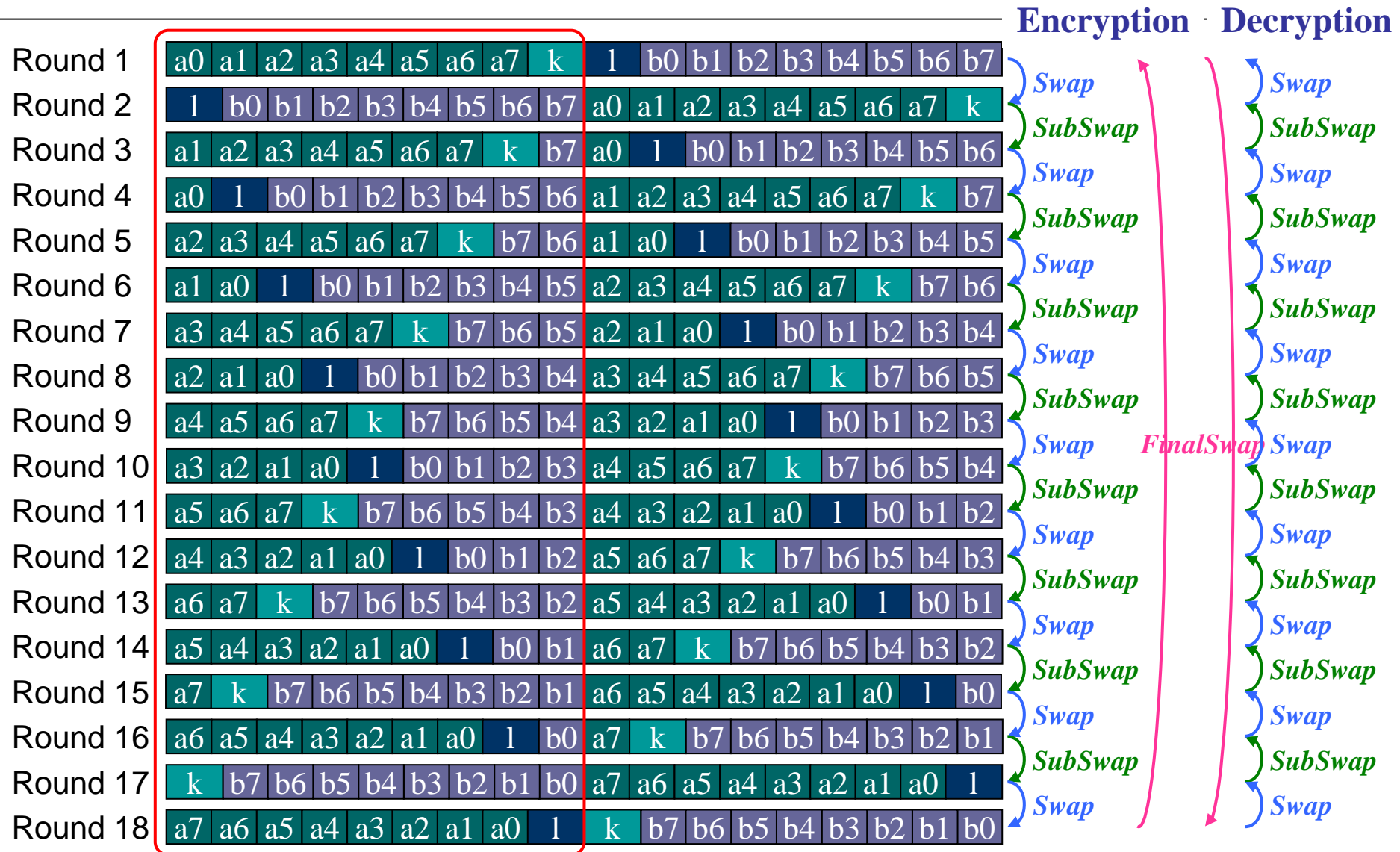
DoubleSwap 関数の最適化

- 中間鍵レジスタの上位と下位をswapさせていくと...



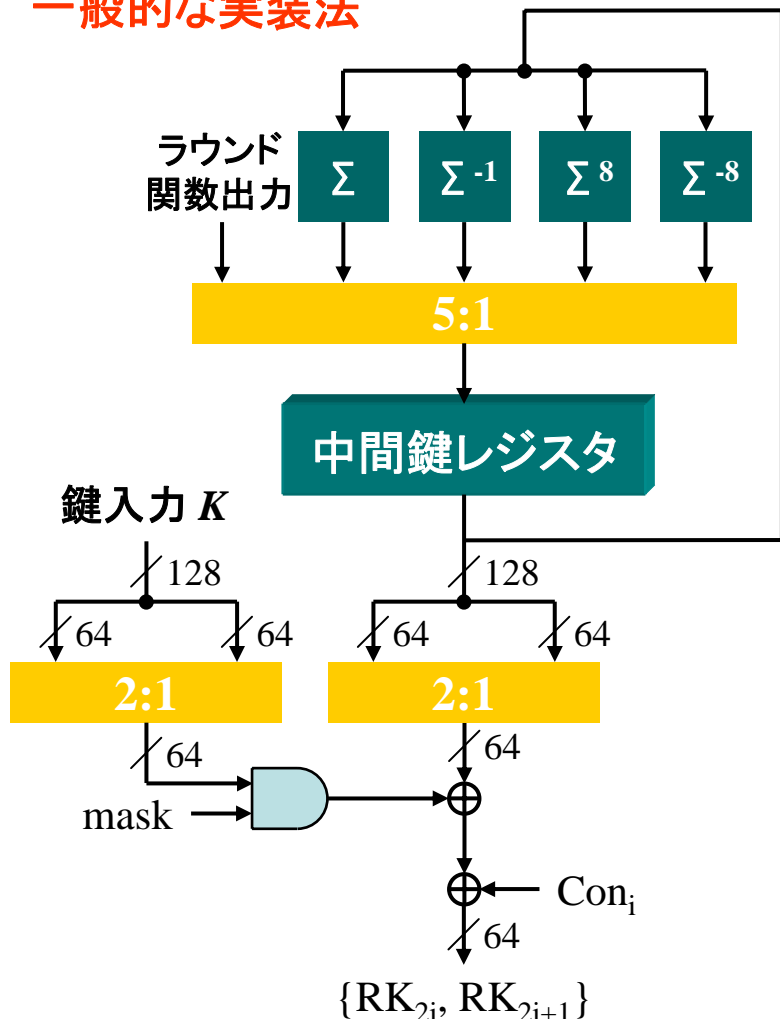
EncryptionとDecryptionでbit permutationが共有可能

DoubleSwap 関数の最適化

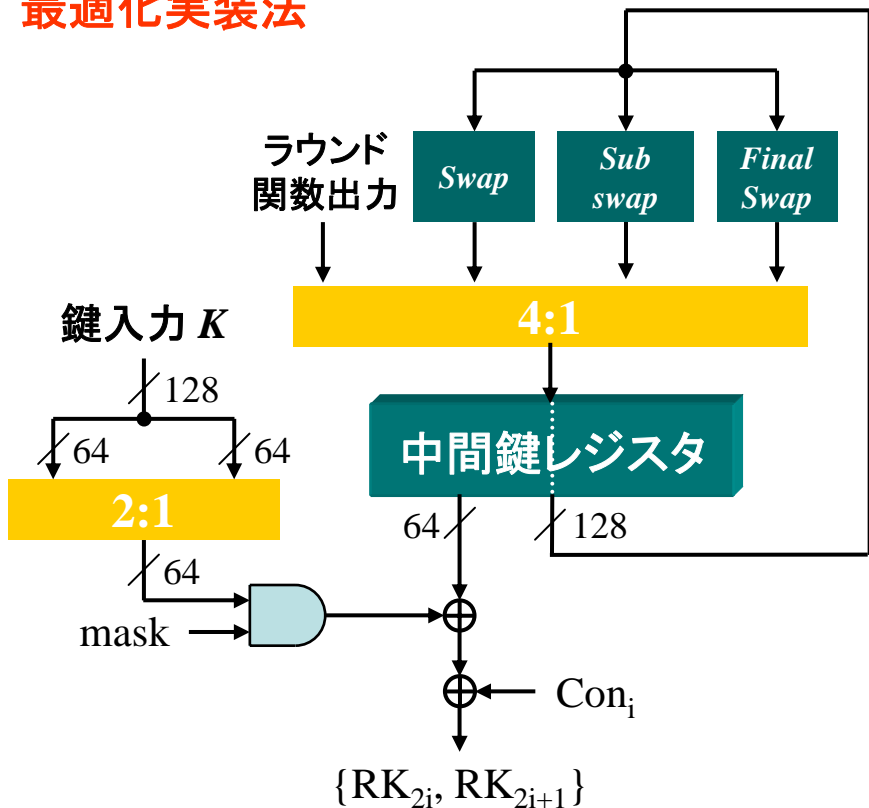


DoubleSwap 関数の最適化

一般的な実装法



最適化実装法



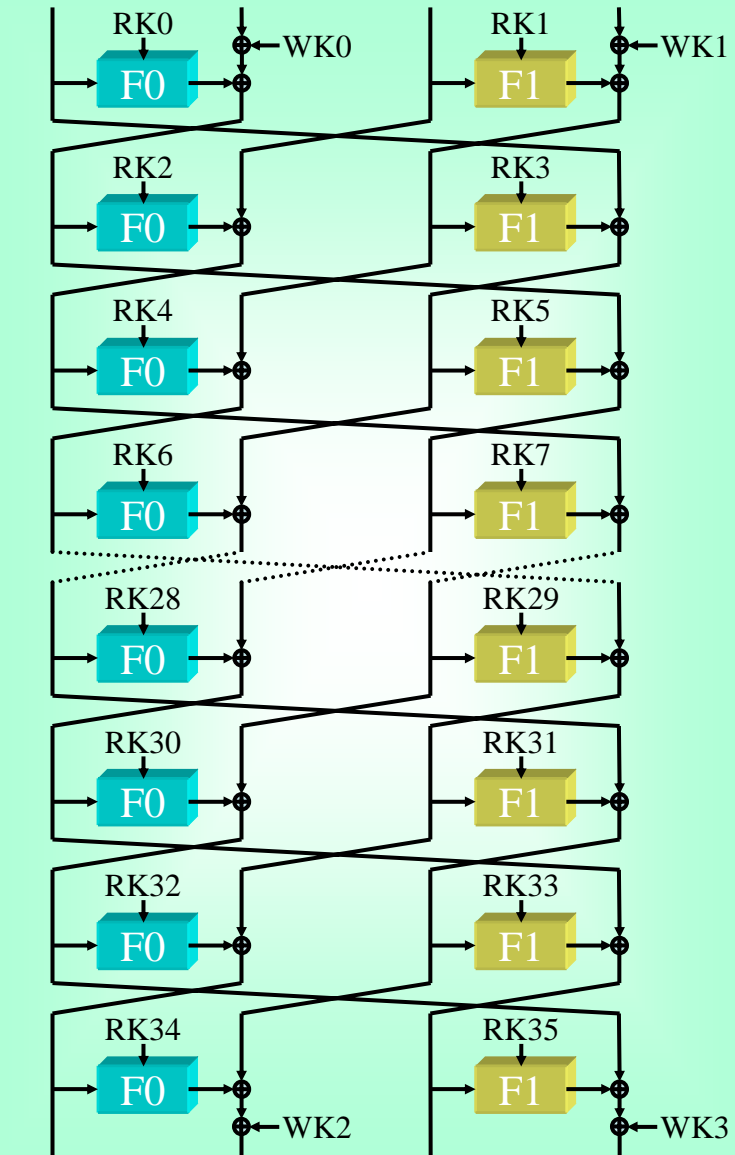
セレクタの削減が可能

部分鍵の等価変形

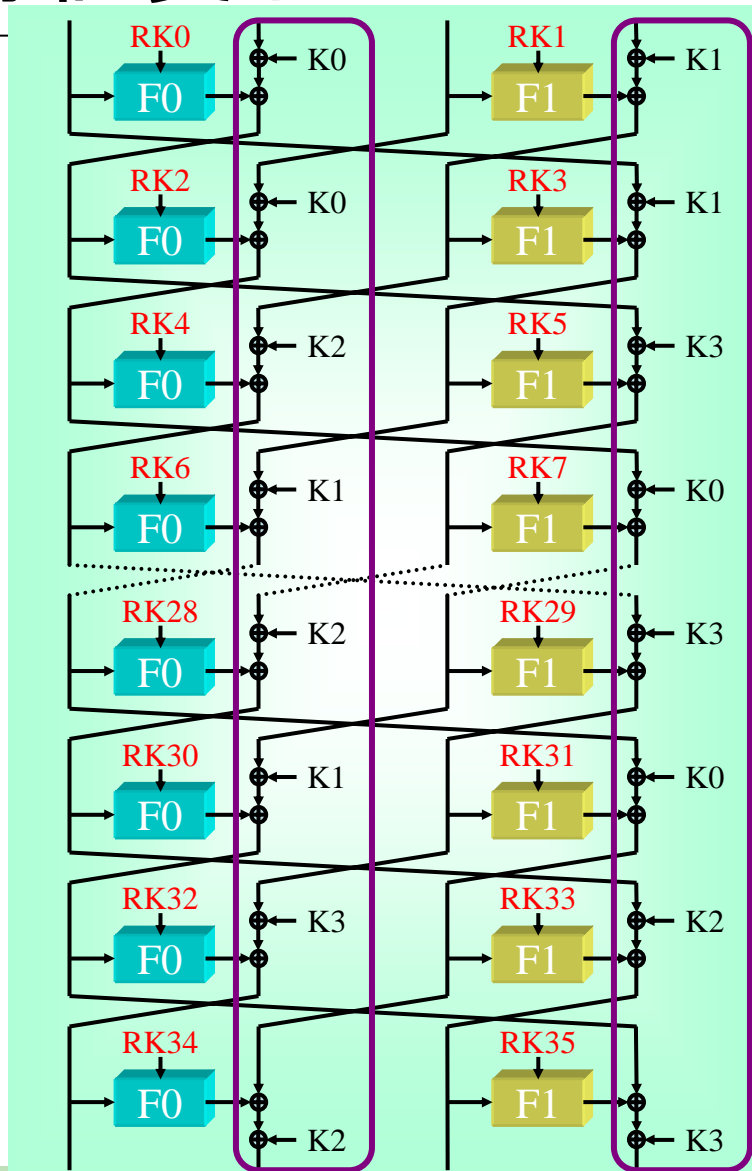
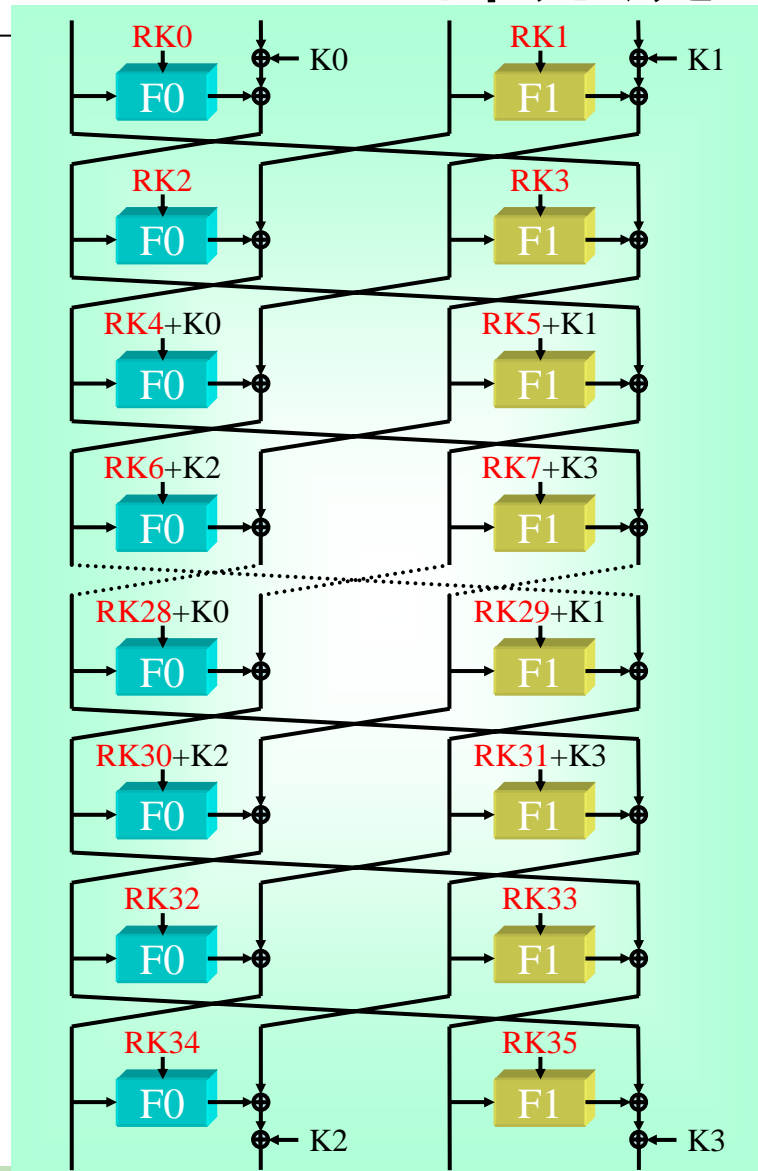
128ビット鍵 K , 中間鍵 L

WK ₀	WK ₁	WK ₂	WK ₃	K
RK ₀	RK ₁	RK ₂	RK ₃	L
RK ₄	RK ₅	RK ₆	RK ₇	$\Sigma(L) + K$
RK ₈	RK ₉	RK ₁₀	RK ₁₁	$\Sigma^2(L)$
RK ₁₂	RK ₁₃	RK ₁₄	RK ₁₅	$\Sigma^3(L) + K$
RK ₁₆	RK ₁₇	RK ₁₈	RK ₁₉	$\Sigma^4(L)$
RK ₂₀	RK ₂₁	RK ₂₂	RK ₂₃	$\Sigma^5(L) + K$
RK ₂₄	RK ₂₅	RK ₂₆	RK ₂₇	$\Sigma^6(L)$
RK ₂₈	RK ₂₉	RK ₃₀	RK ₃₁	$\Sigma^7(L) + K$
RK ₃₂	RK ₃₃	RK ₃₄	RK ₃₅	$\Sigma^8(L)$

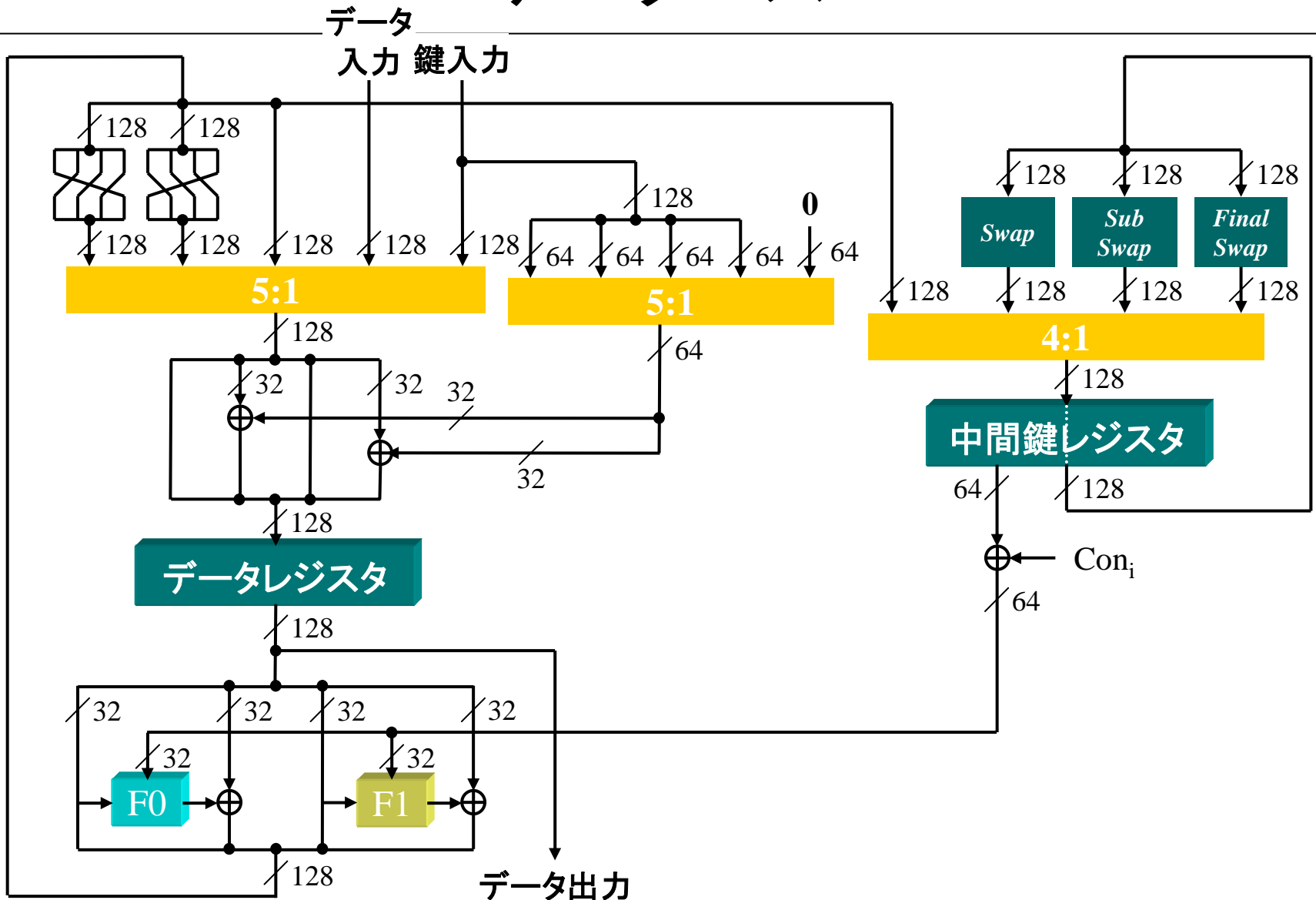
$K = K_0|K_1|K_2|K_3$ として、ラウンド鍵 $RK_{2r}|RK_{2r+1}$ のうち、 L に関する部分を $RK_{2r}|RK_{2r+1}$ とすると…



部分鍵の等価変形 Key whiteningと同じ場所に



データパス



実装性能評価

実装法	アルゴリズム	暗/復号 (cycle)	ゲート規模 (gate)	速度 (Mbps)	ゲート効率 (Kbps/gate)	プロセス (um)
高速版	CLEFIA	18	5,979	1,605.94	268.63	1.98
	AES	11	12,454	1,691.35	135.81	1
	Camellia	22	10,993	971.29	88.36	0.65
小型版	CLEFIA	36	4,950	715.69	144.59	2.51
	AES	54	5,398	311.09	57.63	1
	Camellia	44	6,511	325.76	50.03	0.87

CLEFIAの高いハードウェア実装性能を示している

AES, Camellia: A. Sato, S. Morioka, "Hardware-Focused Performance Comparisons for the Standard Block Ciphers AES, Camellia, and Triple-DES", ISC'03

まとめ

- 128ビットブロック暗号 CLEFIAに関する
 - ハードウェア実装における最適化手法の検討
 - 評価結果の報告
- 非常にシンプルかつ効率的にハードウェア実装可能な構成
- 高いハードウェア実装性能を保持

さいごに

CLEFIA HP

<http://www.sony.co.jp/clefia/>

- 仕様書 (ver 1.0)
 - 設計方針 (ver 1.0)
 - 自己評価書 (ver 1.0)
 - リファレンスコード (ver 1.0.0)
- などがダウンロード可能です

発表資料等順次更新する予定です